

УДК 539.166

## РЕЗОНАНСНАЯ КОНВЕРСИЯ $\gamma$ -ИЗЛУЧЕНИЯ В РАДИАЦИОННЫХ ПЕРЕХОДАХ МЕЖДУ НЕЙТРОННЫМИ РЕЗОНАНСАМИ

Ю. П. Гангрский<sup>a</sup>, Ф. Ф. Карпешин<sup>b</sup>, Ю. П. Попов<sup>a</sup>, М. Б. Тржасковская<sup>b</sup>

<sup>a</sup> Объединенный институт ядерных исследований, Дубна

<sup>b</sup> НИИ физики им. В. А. Фока Санкт-Петербургского государственного университета,  
Санкт-Петербург, Россия

<sup>a</sup> Петербургский институт ядерной физики им. Б. П. Константина РАН, Гатчина, Россия

Обсуждается влияние на спектры  $\alpha$ -частиц в реакции  $(n, \alpha)$  резонансной конверсии в радиационных переходах малой энергии между нейтронными резонансами. Как пример такого влияния рассматриваются необычные  $\alpha$ -спектры из нейтронных резонансов в реакции  $^{147}\text{Sm}(n, \alpha)^{144}\text{Nd}$ . Представлены результаты расчетов коэффициентов резонансной конверсии для переходов между  $K$ -оболочкой и свободными уровнями в  $P$ -оболочке атома Sm. Отмечается заметный эффект резонанса между радиационными переходами в ядре и электронной оболочке атома.

The influence of the resonance conversion on the  $\alpha$ -particles spectra in the reaction  $(n, \alpha)$  in the transitions between neutron resonances is discussed. Unusual  $\alpha$ -spectra from neutron resonances in the reaction  $^{147}\text{Sm}(n, \alpha)^{144}\text{Nd}$  are considered as an example of such influence. The calculation of resonance conversion coefficients was performed for the transitions from the  $K$ -shell in the free levels of the  $P$ -shell of Sm atoms. The large effect of resonance in the radiation transitions for the nuclei and atomic shells is observed.

### ВВЕДЕНИЕ

Одним из процессов взаимодействия электронной оболочки с ядром является внутренняя конверсия  $\gamma$ -излучения. В этом процессе вся энергия возбужденного ядра не уносится  $\gamma$ -квантами, а передается одному из электронов, что приводит к ионизации атома. Этот эффект носит пороговый характер, т. е. проявляется только тогда, когда энергия радиационного перехода в ядре больше энергии связи электрона на данной оболочке атома. Однако и при подпороговой энергии ядерного перехода возможен другой, резонансный, канал этого процесса [1], при котором конверсионный электрон переходит в виртуальное возбужденное состояние. В результате этого вместо возбужденного ядра образуется возбужденный атом, разрядка которого происходит путем эмиссии характеристического рентгеновского излучения или оже-электронов. Как и во всяких резонансных процессах, можно ожидать значительного увеличения его вероятности по сравнению с обычной конверсией, что способно существенно изменить характер распада возбужденного ядра. Особенно заметным этот эффект может быть в случае редких распадов ядерных уровней, например, при эмиссии вместо  $\gamma$ -кванта какой-нибудь тяжелой частицы (нейтрона,  $\alpha$ -частицы).

Этот эффект (его называют также подпороговой или дискретной конверсией) был рассчитан в мюонных атомах [2] и открыт на опыте в ядре  $^{125}\text{Te}$  [3]. В этом ядре

наблюдалась резонансная конверсия  $\gamma$ -излучения  $M1$ -перехода с энергией 35,391 кэВ в ионах с шестью или семью оставшимися электронами.

Свободные уровни атома расположены в узком энергетическом диапазоне (несколько эВ), ширины их малы ( $< 10^{-7}$  эВ), поэтому резонанс между ними и ядерными уровнями является крайне маловероятным. Хотя наличие электронов-спектаторов на  $2p$ -оболочке увеличивает ширину промежуточного состояния ( $K$ -дырки) до десятков эВ, процесс остается сравнительно редким. Однако в ряде случаев вероятность этого процесса может существенно вырасти. Одним из них является резонансная конверсия в водородоподобных ионах [4, 5]. Наличие лишь одного электрона в таких ионах резко увеличивает и число свободных состояний, и их ширину. Это значительно улучшает условия для появления резонанса, а отсутствие электронов-спектаторов в  $2p$ -оболочке делает резонанс особенно острым.

Другим случаем с повышенной вероятностью резонансной конверсии могут быть радиационные переходы между высоколежащими уровнями в районе энергии связи нейтрона, например, между нейтронными резонансами. Низкая энергия этих переходов приводит к большим значениям коэффициентов внутренней конверсии, а высокая плотность резонансов в широком диапазоне — к разнообразию энергий переходов и, следовательно, к повышению вероятности совпадения ее с энергией перехода в электронной оболочке, т. е. к появлению резонанса. Это способно существенно изменить характер распада данного резонанса, который может проходить по совершенно другому пути, в том числе и начинаться с перехода малой энергии. Возможно, проявление такого эффекта наблюдалось при измерениях спектров  $\alpha$ -частиц, испускаемых при разрядке нейтронных резонансов в ядре  $^{148}\text{Sm}$  [6–8]. Рассмотрение этой реакции — вычисление коэффициентов резонансной конверсии для переходов низкой энергии между нейтронными резонансами и вероятностей таких переходов с возможным изменением характера распада при этом — является предметом представленной работы.

### ПРИМЕР С $\alpha$ -РАСПАДОМ НЕЙТРОННЫХ РЕЗОНАСОВ

В реакции радиационного захвата резонансных нейтронов ядром  $^{147}\text{Sm}$  возбуждаются уровни с двумя значениями спина и четности —  $3^-$  и  $4^-$ . Энергия возбуждения составного ядра  $^{148}\text{Sm}$  составляет 8,141 МэВ, а среднее расстояние между резонансами — 5,7 эВ. Основным каналом распада является эмиссия  $\gamma$ -излучения, но с вероятностью  $\sim 10^{-4}$  наблюдались  $\alpha$ -частицы (энергия  $\alpha$ -распада составляет 10,128 МэВ). Характер спектра  $\alpha$ -частиц должен определяться проницаемостью кулоновского барьера, правилами отбора по спину и четности, а также структурой уровней конечного ядра  $^{144}\text{Nd}$ . Однако наблюдаемые спектры  $\alpha$ -частиц из различных резонансов и значения приведенных  $\alpha$ -ширин оказались существенно разными и в целом ряде случаев не соответствующими указанным правилам для  $\alpha$ -распада. Например, для резонанса с  $E_n = 184$  эВ и  $I^\pi = 3^-$  проявляется лишь один  $\alpha$ -переход в основное состояние ( $I^\pi = 0^+$ ) ядра  $^{144}\text{Nd}$ , с  $\alpha$ -шириной вдвое большей, чем средняя по всем резонансам, а для резонанса с  $E_n = 3,4$  эВ и теми же  $I^\pi$  —  $\alpha$ -переходы в основное и первое возбужденное состояние с  $I^\pi = 2^+$  с практически одинаковыми  $\alpha$ -ширинами. Такое разнообразие  $\alpha$ -спектров и  $\alpha$ -ширин можно было бы объяснить либо существенно разной ядерной структурой указанных нейтронных резонансов, что представляется маловероятным, либо более широким набором

спинов резонансов, с которых происходит  $\alpha$ -распад. Это уширение набора спинов может быть связано или с наложением соседних резонансов или с увеличением их числа в результате радиационных переходов низкой энергии между резонансами, вероятность которых может резко возрасти за счет резонансной конверсии. Для этого необходимо, чтобы вероятности переходов с низкой энергией (вплоть до нескольких эВ), соответствующей расстоянию между резонансами, были близки к величинам, обратным факторам резонансной конверсии для этих переходов, которые лежат в интервале от энергии связи электронов на  $K$ -оболочке (для Sm это 46,837 кэВ) до расстояния между соседними резонансами (обычно несколько эВ). Вероятность совпадения энергий атомных и ядерных переходов может быть заметной из-за большого числа уровней в ядре ( $\sim 200$  на интервал энергии в 1 кэВ) и большой ширины атомных уровней в случае дырки на  $K$ -оболочке (до нескольких десятков эВ). Для оценки этого эффекта были рассчитаны коэффициенты резонансной конверсии для радиационных переходов в Sm вплоть до очень низких энергий (расстояние между уровнями в  $P$ -оболочке атома).

### РАСЧЕТЫ КОЭФФИЦИЕНТОВ РЕЗОНАНСНОЙ КОНВЕРСИИ ДЛЯ ПЕРЕХОДОВ НИЗКОЙ ЭНЕРГИИ

Теория процесса резонансной внутренней конверсии и способ вычисления ее коэффициентов подробно изложены в [9–11]. Фактор конверсии, представляющий собой отношение ширин конверсионного  $\Gamma_c$ - и радиационного  $\Gamma_\gamma$ -переходов, определяется в окрестностях резонанса выражением

$$R = \Gamma_c / \Gamma_\gamma = \frac{2\alpha_d \Gamma}{\pi (4\Delta^2 + \Gamma^2)}, \quad (1)$$

где  $\alpha_d$  — резонансный аналог обычного коэффициента внутренней конверсии;  $\Delta$  — дефект резонанса, равный разности энергий атомного и ядерного уровней ( $\Delta = E_a - E_n$ );  $\Gamma$  — полная ширина резонанса, включающая ширины атомного и ядерного уровней. Для нейтронных резонансов эта ширина  $\sim 10^{-2}$  эВ, а для атомных уровней зависит от номера электронной оболочки. Для самой нижней  $K$ -оболочки она достигает нескольких десятков эВ, но быстро падает с ростом главного квантового числа оболочки  $n$  и уменьшением энергии радиационного перехода  $\Delta E$  (как трети степени этих величин)

$$\Gamma_{\text{ат}} \approx \frac{(\Delta)^3}{n^3}. \quad (2)$$

Например, для переходов между основным состоянием атома и одним из его возбужденных с энергией в несколько эВ она составляет  $\sim 10^{-8}$  эВ.

Выражение для фактора резонансной конверсии, который определяет вклад этого эффекта в вероятность радиационного перехода, имеет вид

$$R = \frac{2\alpha_d}{\pi \Gamma}. \quad (3)$$

На рисунке представлена схема электронных оболочек в атоме Sm. Указаны радиационные  $E1$ - и  $M1$ -переходы с нижней  $K$ -оболочки на свободные уровни в  $P$ -оболочке.

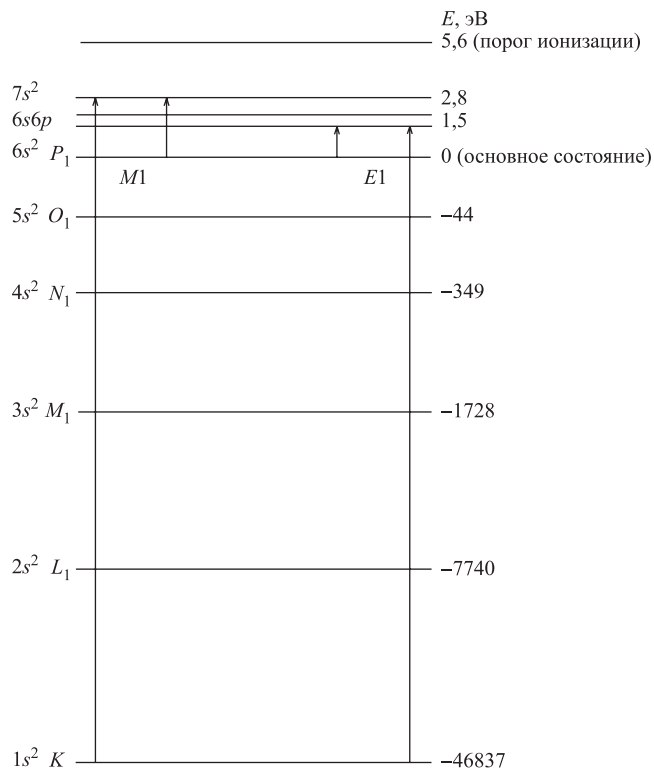


Схема атомных уровней Sm. Указаны электронные конфигурации и энергии уровней относительно основного состояния

В атоме Sm имеется целый ряд уровней с конфигурацией  $4f^66s6p$ , на которые возможны переходы  $E1$  с заполненной  $K$ -оболочки (ее конфигурация  $1s^2$ ). С этой оболочки возможны и  $M1$ -переходы на свободные уровни  $P$  и более высоких оболочек с конфигурацией  $7s^2$ ,  $8s^2$  и т. д. Пользуясь этой схемой, рассчитали коэффициенты дискретной конверсии  $\alpha_d$  для радиационных переходов в ядре  $^{148}\text{Sm}$ , резонансных — для атомных переходов между электронными конфигурациями  $1s^2 \rightarrow 6s6p_{3/2}$ ,  $6s^2 \rightarrow 6s6p_{3/2}$  (переходы  $E1$ ), а также  $1s^2 \rightarrow 7s^2$ ,  $6s^2 \rightarrow 7s^2$  (переходы  $M1$ ). Были выбраны самые низкие уровни в  $P$ -оболочке с указанными конфигурациями (с энергиями соответственно 1,5 и 2,8 эВ). Расчеты проведены методом Дирака–Фока с учетом конечных размеров ядра, а также высших квантово-электродинамических поправок на поляризацию вакуума и собственную энергию [10]. Значения ширин атомных уровней были получены с использованием известной величины для перехода между электронными оболочками  $L_{II}$  и ( $\Gamma = 52$  эВ [12]) и выражения (2). Ширины атомных уровней при переходах внутри  $P$ -оболочки оказались много меньше ширин нейтронных резонансов ( $3 \cdot 10^{-2}$  эВ), поэтому для вычисления факторов резонансной конверсии  $R$  использовались значения ядерных ширин. Полученные таким способом характеристики резонансных переходов  $\alpha_d$ ,  $\Gamma$  и  $R$  представлены в таблице. Видно, что значения  $R$ , в особенности для  $M1$ -переходов с

**Характеристики резонансной конверсии для радиационных переходов в ядре  $^{148}\text{Sm}$**

Переход	Мульти- польность	Энергия перехода, эВ	$\alpha_d$ , эВ	$\Gamma$ , эВ	R	$\Gamma_i/\Gamma_0$
$1s^2 \rightarrow 6s6p_{3/2}$	E1	46832	4,69	0,49	9,5	$10^{-4}$
	M1	46830	11,97	0,032	375	$10^{-4}$
$6s^2 \rightarrow 6s6p_{3/2}$	E1	1,6	$2,6 \cdot 10^9$	$3 \cdot 10^{-2}$	$0,9 \cdot 10^{11}$	$10^{-18}$
	M1	2,8	$2,7 \cdot 10^9$	$3 \cdot 10^{-2}$	$0,9 \cdot 10^{11}$	$10^{-17}$

*K*-оболочки и внутри *P*-оболочки, достигают очень больших величин и могут повысить вероятность радиационных переходов низких энергий из нейтронных резонансов.

С учетом фактора резонансной конверсии вероятность разрядки нейтронного резонанса путем радиационного перехода, совпадающего по энергии с переходом в атомной оболочке, определяется выражением

$$W = (1 + R) \frac{\Gamma_i}{\Gamma_0}, \quad (4)$$

где  $\Gamma_i$  — парциальная приведенная ширина для перехода низкой энергии;  $\Gamma_0$  — полная ширина нейтронного резонанса (для данной области ядер  $\Gamma_0 \cong 0,03$  эВ). К сожалению, практически отсутствует информация о спектрах  $\gamma$ -квантов низких энергий ( $< 100$  кэВ), испускаемых при разрядке нейтронных резонансов. Поэтому значения  $\Gamma_i$ , как правило, неизвестны, хотя реакция  $(n, \gamma\alpha)$  наблюдалась, где  $\alpha$ -распаду предшествовало испускание  $\gamma$ -кванта низкой энергии и мультипольности E1 или M1 [13]. Грубую оценку  $\Gamma_i$  можно получить из экстраполяции к низким энергиям измеренных на опыте спектров  $\gamma$ -излучения, испускаемого при разрядке уровней после захвата тепловых нейтронов [14–16], считая что значения  $\Gamma_i$  уменьшаются как энергия перехода в кубе. Такие оценки  $\Gamma_i/\Gamma_0$  приведены в таблице. Видно, что при указанных предположениях о переходах они оказываются заметно меньше, чем  $(1 + R)^{-1}$ , особенно для переходов низкой энергии внутри *P*-оболочки атома. Однако необходимо отметить, что используемые в этих расчетах значения  $\Gamma_i$  являются усредненными по многим резонансам с большим разбросом параметров. Для отдельных резонансов возможны и заметные отклонения от средних значений, и проявления нестатистических эффектов [17]. Все это не позволяет исключить заметного влияния резонансной конверсии на распад нейтронных резонансов и спектры вторичных частиц при их распаде.

В случае переходов большей энергии (с *K*-оболочки), где отмеченные неопределенности меньше, можно ожидать достаточно больших значений фактора  $R$  для переходов на ридберговские уровни (они имеют малую ширину ( $\ll 1$  эВ) и большую плотность). Интересным является пример с переходами между атомными уровнями *K*- и *L*-оболочки. В этом случае ширина уровня в *L*-оболочке (52 эВ) заметно выше расстояния между нейтронными резонансами, поэтому резонансный электронный переход найдется всегда. Однако эти случаи требуют специального и более детального рассмотрения.

В заключение авторы выражают благодарность Ю. Ц. Оганесяну, М. Г. Иткису и Ю. Э. Пенионжкевичу за интерес к работе, а также Ю. М. Гледенову, П. А. Седышеву и А. М. Суховому за полезные обсуждения.

Работа поддержана РФФИ (грант №05-02-17430).

СПИСОК ЛИТЕРАТУРЫ

1. *Карпешин Ф. Ф.* // ЭЧАЯ. 2006. Т. 37. С. 352.
2. *Зарецкий Д. Ф., Карпешин Ф. Ф.* // ЯФ. 1979. Т. 29. С. 306.
3. *Karpeshin F. F. et al.* // Phys. Rev. C. 1996. V. 53. P. 1640.
4. *Карпешин Ф. Ф., Тржасковская М. Б., Гангрский Ю. П.* // ЖЭТФ. 2004. Т. 126. С. 1.
5. *Гангрский Ю. П., Карпешин Ф. Ф., Тржасковская М. Б.* // Изв. АН. Сер. физ. 2004. Т. 68. С. 149.
6. *Popov Yu. P. et al.* // Nucl. Phys. A. 1972. V. 188. P. 212.
7. *Koehler P. E. et al.* // Phys. Rev. C. 2004. V. 69. P. 015803.
8. *Попов Ю. П., Гледенов Ю. М., Анджеевский Ю.* // Письма в ЭЧАЯ. 2004. Т. 1. С. 83.
9. *Karpeshin F. F. et al.* // Phys. Rev. Lett. B. 1992. V. 282. P. 267.
10. *Karpeshin F. F., Band I. M., Trzaskovskaya M. B.* // Nucl. Phys. A. 1999. V. 654. P. 579.
11. *Карпешин Ф. Ф., Банд И. М., Тржасковская М. Б.* // ЖЭТФ. 1999. Т. 116. С. 1565.
12. *Блохин Н. А., Швайцер И. Г.* Рентгеноспектральный справочник. М.: Наука, 1982.
13. *Oakey N. S., Macfarlane R. D.* // Phys. Lett. 1968. V. 268. P. 662.
14. Neutron Capture Gamma-Ray Spectroscopy / Ed. by R. E. Chrien, W. R. Kane. N. Y.: Plenum Press, 1979.
15. *Groshev L. V. et al.* // Nucl. Phys. 1963. V. 43. P. 669.
16. *Smither R. K.* // Phys. Rev. 1966. V. 150. P. 964.
17. *Gledenov Yu. M. et al.* // Phys. Rev. C. 2000. V. 62. P. 042801.

Получено 10 ноября 2005 г.